

**О ТЕЧЕНИИ В ГИПЕРЗВУКОВОМ ПОГРАНИЧНОМ СЛОЕ  
НА ТЕЛАХ СТЕПЕННОЙ ФОРМЫ  
ПРИ НАЛИЧИИ МАССООБМЕНА**

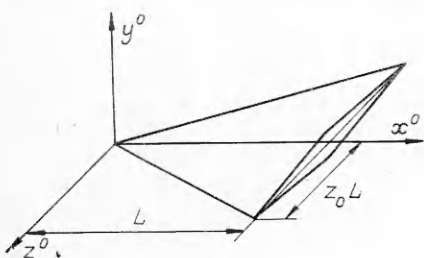
Г. Н. Дудин

(Москва)

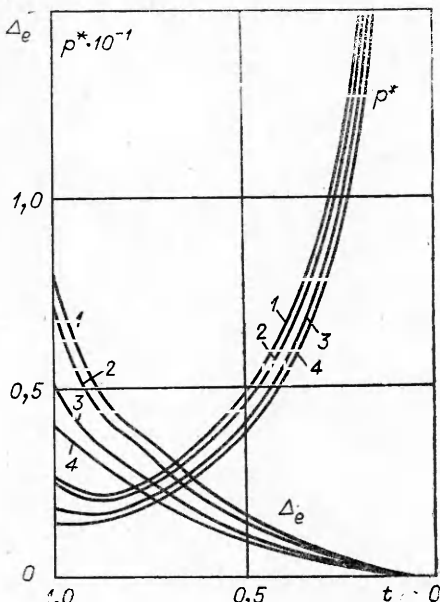
1. Необходимость исследования течений с массообменом объясняется весьма существенным влиянием его на аэродинамические характеристики летательного аппарата и теплообмен с окружающей средой. Так, принудительный вдув является эффективным средством уменьшения конвективных и радиационных тепловых потоков к обтекаемой поверхности. Массообмен может существенно изменить эффективную форму тела и влиять как на отрыв пограничного слоя, так и на образование вторичных течений.

Исследованию массообмена посвящено большое число экспериментальных и теоретических работ. Обзор исследования влияния принудительного вдува и отсоса на характеристики двумерного стационарного пограничного слоя на проницаемой поверхности представлен, например, в работе [1]. Особую актуальность в настоящее время приобрели исследования влияния массообмена на пространственные течения вязкого газа при гиперзвуковых скоростях полета [2, 3].

В данной работе рассматривается симметричное обтекание тонкого тела степенной формы гиперзвуковым потоком вязкого газа при наличии массообмена. Система координат прямоугольная (фиг. 1). Ось  $x^0$  направлена вдоль вектора скорости набегающего потока  $U_\infty$ . Величины  $u^0, v^0, w^0$  — компоненты вектора скорости в пограничном слое соответственно вдоль осей  $x^0, y^0, z^0$ . На поверхности тела  $v^0 = F^0(x^0, z^0)$ . Форма тела задана уравнением  $y^0 = \delta_w^0(x^0, z^0)$ . Учитывая, что рассматривается обтекание тонкого тела, можно ввести переменные [4], связанные с его поверхностью  $y_* = y^0 - \delta_w^0(x^0, z^0), v_* = v^0 - u^0 \partial \delta_w^0 / \partial x^0 - w^0 \partial \delta_w^0 / \partial z^0$ . В соответствии с обычными оценками для пограничного слоя в гиперзвуковом потоке [5] вводятся безразмерные переменные



Фиг. 1



Фиг. 2

$$(1.1) \quad \begin{aligned} x^0 &= Lx, \quad y_* = L\delta y, \quad z^0 = Lz_0 z, \quad \rho^0 = \rho_\infty \tau^2 \rho, \\ g^0 &= U_\infty^2 g/2, \quad p^0 = \rho_\infty U_\infty^2 \tau^2 p, \quad u^0 = U_\infty u, \quad w^0 = U_\infty w, \\ v_* &= U_\infty \delta z_0^{-1} v, \quad \mu^0 = \mu_0 \mu, \quad F^0 = U_\infty \delta z_0^{-1} F, \\ \delta_e^0 &= L\tau \delta_w, \quad \delta_e^0 = L\delta \delta_e, \quad \delta = \tau^{-1} z_0^{1/2} \text{Re}^{-1/2}, \end{aligned}$$

где  $z_0$  — удлинение, характеризующее отношение размеров тела в поперечном и продольном направлениях;  $\tau$  — характерная толщина крыла;  $\delta_e^0$  — толщина вытеснения пограничного слоя;  $\text{Re} = \rho_\infty U_\infty L / \mu_0$  — число Рейнольдса;  $\rho_\infty$  — плотность газа в невозмущенном потоке;  $\mu_0$  — коэффициент вязкости, вычисленный при температуре торможения набегающего потока;  $L$  — характерный продольный размер, который в автомодельном случае из конечных результатов выпадает;  $g^0$  — энталпия торможения.

Подстановка переменных (1.1) в уравнения Навье—Стокса и совершение предельного перехода  $\text{Re} \rightarrow \infty$  приводят к уравнениям пространственного пограничного слоя, которые в переменных А. А. Дородницына имеют вид

$$(1.2) \quad \begin{aligned} z_0 u \frac{\partial u}{\partial x} + v_0 \frac{\partial u}{\partial \lambda} + w \frac{\partial u}{\partial z} &= - \frac{z_0}{\rho} \frac{\partial p}{\partial x} + \frac{\partial}{\partial \lambda} \left( \rho \mu \frac{\partial u}{\partial \lambda} \right), \\ z_0 u \frac{\partial w}{\partial x} + v_0 \frac{\partial w}{\partial \lambda} + w \frac{\partial w}{\partial z} &= - \frac{1}{\rho} \frac{\partial p}{\partial z} + \frac{\partial}{\partial \lambda} \left( \rho \mu \frac{\partial w}{\partial \lambda} \right), \\ z_0 u \frac{\partial g}{\partial x} + v_0 \frac{\partial g}{\partial \lambda} + w \frac{\partial g}{\partial z} &= \frac{\partial}{\partial \lambda} \left\{ \rho \mu \left[ \frac{1}{\sigma} \frac{\partial g}{\partial \lambda} - \frac{1-\sigma}{\sigma} \frac{\partial (u^2 + w^2)}{\partial \lambda} \right] \right\}, \\ z_0 \frac{\partial u}{\partial x} + \frac{\partial v_0}{\partial \lambda} + \frac{\partial w}{\partial z} &= 0, \quad \rho = \frac{2\gamma}{\gamma-1} \frac{p}{g - u^2 - w^2}, \quad \mu = (g - u^2 - w^2)^{\alpha}, \\ \delta_e &= \frac{\gamma-1}{2\gamma p} \int_0^\infty (g - u^2 - w^2) d\lambda, \\ \lambda &= \int_0^y \rho dy, \quad v_0 = \rho v + w \frac{\partial \lambda}{\partial z} + z_0 u \frac{\partial \lambda}{\partial x}, \end{aligned}$$

где  $\sigma$  — число Прандтля. Границные условия имеют вид

$$u = w = 0, \quad v_0 = \rho F, \quad g = g_w \quad (\lambda = 0), \quad u \rightarrow 1, \quad w \rightarrow 0, \quad g \rightarrow 1 \quad (\lambda \rightarrow \infty).$$

Для определения давления в данной работе используется приближенная формула «касательного клина» [5] в форме, справедливой при  $M_\infty(\tau + \delta) \gg 1$ ,

$$(1.3) \quad p = \frac{\gamma+1}{2} \left( \frac{\partial \delta_m}{\partial x} + \chi \frac{\partial \delta_e}{\partial x} \right)^2,$$

где  $\chi = \delta/\tau$  — параметр взаимодействия, характеризующий отношение толщины пограничного слоя к толщине крыла.

Рассмотрим обтекание тел степенной формы  $z_e = x^m$ ,  $\delta_w = x^l \times \Delta_w(z/z_e)$ , где  $z_e$  — координата передней кромки, и введем, согласно [6], следующие переменные:

$$(1.4) \quad x = x^*, \quad z = x^m z^*, \quad \lambda = x^k \lambda^*, \quad g = g^*, \quad \mu = \mu^*,$$

$$\begin{aligned} p &= x^{2(l-1)} p^*, \quad \rho = x^{2(l-1)} \rho^*, \quad u = u^*, \quad w = w^*, \quad v_0 = x^n v^*, \\ \delta_e &= x^{k-2(l-1)} \Delta_e, \quad n = (2l - m - 2)/2, \quad k = (2l + m - 2)/2. \end{aligned}$$

При использовании формулы (1.3) для определения давления в отсутствие массообмена через проницаемую поверхность, как показано в работе [6], интенсивность взаимодействия будет равномерной по телу и краевая задача (1.2), (1.3) сводится к автомодельной, если параметры

$$(1.5) \quad m = 1, \quad l = 3/4.$$

Однако при наличии принудительного вдува (отсоса) через поверхность тела для сведения задачи к автомодельной необходимо еще наложить ограничение на вид функции  $F$  так, чтобы  $v^*$  на поверхности тела не зависело от координаты  $x^*$ . В этом случае получаем

$$(1.6) \quad F = x^{-1/4} F^*(z^*).$$

В новых переменных (1.4), (1.6) с учетом (1.5) краевая задача (1.2), (1.3) принимает вид

$$\begin{aligned} (1.7) \quad & (w^* - z_0 z^* u^*) \frac{\partial u^*}{\partial z^*} + \left( v^* - \frac{1}{4} z_0 \lambda^* u^* \right) \frac{\partial u^*}{\partial \lambda^*} = z_0 \frac{\gamma - 1}{2\gamma p^*} (g^* - u^{*2} - w^{*2}) \left( \frac{p^*}{2} + z^* \frac{dp^*}{dz^*} \right) + \frac{\partial}{\partial \lambda^*} \left( N^* \frac{\partial u^*}{\partial \lambda^*} \right), \\ & (w^* - z_0 z^* u^*) \frac{\partial w^*}{\partial z^*} + \left( v^* - \frac{1}{4} z_0 \lambda^* u^* \right) \frac{\partial w^*}{\partial \lambda^*} = - \frac{\gamma - 1}{2\gamma p^*} (g^* - u^{*2} - w^{*2}) \frac{dp^*}{dz^*} + \frac{\partial}{\partial \lambda^*} \left( N^* \frac{\partial w^*}{\partial \lambda^*} \right), \\ & (w^* - z_0 z^* u^*) \frac{\partial g^*}{\partial z^*} + \left( v^* - \frac{1}{4} z_0 \lambda^* u^* \right) \frac{\partial g^*}{\partial \lambda^*} = \\ & = \frac{\partial}{\partial \lambda^*} \left\{ N^* \left[ \frac{1}{\sigma} \frac{\partial g^*}{\partial \lambda^*} - \frac{1 - \sigma}{\sigma} \frac{\partial (u^{*2} + w^{*2})}{\partial \lambda^*} \right] \right\}, \\ & \frac{\partial v^*}{\partial \lambda^*} + \frac{\partial w^*}{\partial z^*} - z_0 \left( z^* \frac{\partial u^*}{\partial z^*} + \frac{\lambda^*}{4} \frac{\partial u^*}{\partial \lambda^*} \right) = 0, \\ & N^* = \frac{2\gamma p^*}{\gamma - 1} (g^* - u^{*2} - w^{*2})^{1/2}, \quad \Delta_e = \frac{\gamma - 1}{2\gamma p^*} \int_0^\infty (g^* - u^{*2} - w^{*2}) d\lambda^*, \\ & p^* = \frac{\gamma + 1}{2} \left[ \frac{3}{4} \Delta_w - z^* \frac{d\Delta_w}{dz^*} + \chi \left( \frac{3}{4} \Delta_e - z^* \frac{d\Delta_e}{dz^*} \right) \right]^2. \end{aligned}$$

Границные условия имеют вид

$$\begin{aligned} u^* &= w^* = 0, \quad v^* = \rho^* F^*, \quad g^* = g_w \quad (\lambda^* = 0), \\ u^* &\rightarrow 1, \quad w^* \rightarrow 0, \quad g^* \rightarrow 1 \quad (\lambda^* \rightarrow \infty). \end{aligned}$$

Полученная система уравнений не зависит от значений координаты  $x^*$  и описывает течение в пространственном пограничном слое в плоскости  $\lambda^*, z^*$ .

В дальнейшем предполагается, что форма тела в поперечном сечении определяется выражением

$$\Delta_u = (1 - z^{*2})^{\alpha_1}.$$

Заметим, что при параметре  $\alpha_1 = 3/4$  на кромке тела реализуется режим умеренного взаимодействия [5].

2. Для решения системы уравнений (1.7) удобно ввести новые переменные [6], не зависящие от неизвестных функций

$$(2.1) \quad t = (1 - z^*)^{2\alpha-1}, \quad \eta = \lambda \sqrt{\frac{(\gamma-1)(2\alpha-1)2^{2\alpha-3}}{\gamma(1-z^{*2})^{2\alpha-1}}}.$$

Кроме того, необходимо преобразовать компоненты вектора скорости в пограничном слое

$$(2.2) \quad w_0 = -w^*, \quad v^1 = \sqrt{\frac{(\gamma-1)(1-z^{*2})^{2\alpha-1}}{\gamma p^{2\alpha-1}(2\alpha-1)}} \frac{u^*}{p^*}.$$

Подставляя (2.1), (2.2) в систему уравнений (1.7), получаем

$$(2.3) \quad A \frac{\partial u^*}{\partial t} + B \frac{\partial u^*}{\partial \eta} = \frac{\partial}{\partial \eta} \left( N \frac{\partial u^*}{\partial \eta} \right) + z_0 \frac{\gamma-1}{\gamma p^*} (g^* - u^{*2} - w_0^2) \times \\ \times \left( \frac{2-t^{\frac{1}{2\alpha-1}}}{2} \right)^{2\alpha-1} \left( \frac{t}{2(2\alpha-1)} - \frac{1-t^{\frac{1}{2\alpha-1}}}{t^{\frac{3-4\alpha}{2\alpha-1}} p^*} \frac{dp^*}{dt} \right), \\ A \frac{\partial w_0}{\partial t} + B \frac{\partial w_0}{\partial \eta} = \frac{\partial}{\partial \eta} \left( N \frac{\partial w_0}{\partial \eta} \right) - \frac{\gamma-1}{\gamma} (g^* - u^{*2} - w_0^2) \times \\ \times \frac{1}{t^{\frac{3-4\alpha}{2\alpha-1}} p^{*2}} \left( \frac{2-t^{\frac{1}{2\alpha-1}}}{2} \right)^{2\alpha-1} \frac{dp^*}{dt}, \\ A \frac{\partial g^*}{\partial t} + B \frac{\partial g^*}{\partial \eta} = \frac{\partial}{\partial \eta} \left\{ N \left[ \frac{1}{\sigma} \frac{\partial g^*}{\partial \eta} - \frac{1-\sigma}{\sigma} \frac{\partial (u^{*2} + w_0^2)}{\partial \eta} \right] \right\}, \\ \frac{\partial v^1}{\partial \eta} = \frac{\eta(1-t^{\frac{1}{2\alpha-1}})}{t^{\frac{2(1-\alpha)}{2\alpha-1}} p^*} \left( \frac{2-t^{\frac{1}{2\alpha-1}}}{2} \right)^{2(\alpha-1)} \left[ \frac{\partial w_0}{\partial \eta} + z_0 \left( 1-t^{\frac{1}{2\alpha-1}} \right) \frac{\partial u^*}{\partial \eta} \right] - \\ - \frac{2}{t^{\frac{3-4\alpha}{2\alpha-1}} p^*} \left( \frac{2-t^{\frac{1}{2\alpha-1}}}{2} \right)^{2\alpha-1} \left[ \frac{\partial w_0}{\partial t} + z_0 \left( 1-t^{\frac{1}{2\alpha-1}} \right) \frac{\partial u^*}{\partial t} \right] + \\ + z_0 \eta \frac{t}{2(2\alpha-1) p^*} \left( \frac{2-t^{\frac{1}{2\alpha-1}}}{2} \right)^{2\alpha-1} \frac{\partial u^*}{\partial \eta}, \\ A = \left[ w_0 + z_0 u^* \left( 1-t^{\frac{1}{2\alpha-1}} \right) \right] \frac{2}{t^{\frac{3-4\alpha}{2\alpha-1}} p^*} \left( \frac{2-t^{\frac{1}{2\alpha-1}}}{2} \right)^{2\alpha-1}.$$

$$\begin{aligned}
B = v^1 - \left[ w_0 + z_0 u^* \left( 1 - t^{\frac{1}{2\alpha-1}} \right) \right] \frac{\eta \left( 1 - t^{\frac{1}{2\alpha-1}} \right)}{p^* t^{\frac{2(1-\alpha)}{2\alpha-1}}} \left( \frac{2-t^{\frac{1}{2\alpha-1}}}{2} \right)^{2(2\alpha-1)} - \\
- z_0 u^* \eta \frac{t}{2(2\alpha-1)} p^* \left( \frac{2-t^{\frac{1}{2\alpha-1}}}{2} \right)^{2\alpha-1}, \\
N = (g^* - u^{*2} - w_0^2)^{0-1}, \\
\Delta_e = \frac{1}{p^*} \sqrt{\frac{\gamma-1}{\gamma} \frac{t}{2\alpha-1} \left( \frac{2-t^{\frac{1}{2\alpha-1}}}{2} \right)^{2\alpha-1}} \int_0^\infty (g^* - u^{*2} - w_0^2) d\eta, \\
p^* = \frac{\gamma+1}{2} \left\{ t^{\frac{\alpha_1-1}{2\alpha-1}} \left( 2 - t^{\frac{1}{2\alpha-1}} \right)^{\alpha_1-1} \left[ \frac{3}{4} t^{\frac{1}{2\alpha-1}} \left( 2 - t^{\frac{1}{2\alpha-1}} \right) + \right. \right. \\
\left. \left. + 2\alpha_1 \left( 1 - t^{\frac{1}{2\alpha-1}} \right)^2 \right] + \chi \left[ \frac{3}{4} \Delta_e + \frac{2\alpha-1}{t^{\frac{2(1-\alpha)}{2\alpha-1}}} \left( 1 - t^{\frac{1}{2\alpha-1}} \right) \frac{d\Delta_e}{dt} \right]^2 \right\},
\end{aligned}$$

где параметр  $\alpha = \alpha_1$  при  $\alpha_1 \leq 3/4$ ,  $\alpha = 3/4$  при  $\alpha_1 \geq 3/4$ . Границные условия имеют вид

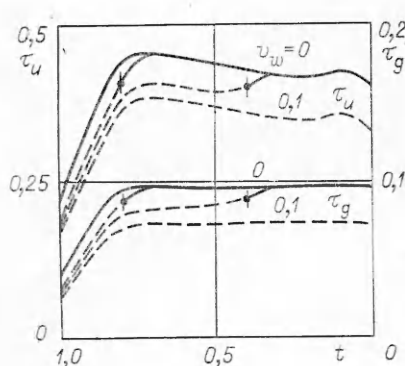
$$\begin{aligned}
u^* = w_0 = 0, \quad v^1|_{w_0} = \sqrt{\frac{\gamma-1}{\gamma} \frac{t}{2\alpha-1} \left( \frac{2-t^{\frac{1}{2\alpha-1}}}{2} \right)^{2\alpha-1}} \frac{\rho^* F^*}{p^*}, \quad g^* = \\
= g_w(\eta=0), \quad u^* \rightarrow 1, \quad w_0 \rightarrow 0, \quad g^* \rightarrow 1 \quad (\eta \rightarrow \infty).
\end{aligned}$$

Система уравнений пограничного слоя с учетом вязкого взаимодействия (2.3) решалась методом релаксации [7]. В зависимости от знака коэффициента  $\left[ w_0 + z_0 u^* \left( 1 - t^{\frac{1}{2\alpha-1}} \right) \right]$ , определяющего направление параболичности системы (2.3), применялись правосторонние или левосторонние производные по координате  $t$ .

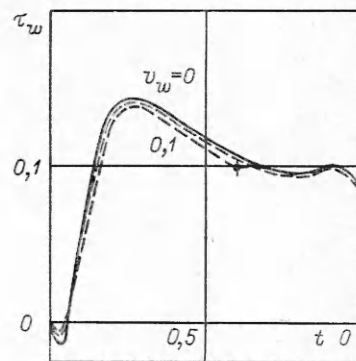
Для решения системы уравнений (2.3) необходимы, кроме граничных условий при  $\eta = 0$  и  $\infty$ , условия на передних кромках крыла. Учитывая, что в окрестности кромки  $t = 0$  для толщины вытеснения имеет место разложение  $\Delta_e(t) = \Delta_{ek} t^{3/2} + \dots$  [5], можно получить выражение для давления

$$(2.4) \quad p^*|_{t \rightarrow 0} = \frac{\gamma+1}{2} \left\{ 2^{\alpha_1} \alpha_1 t^{\frac{\alpha_1-1}{2\alpha-1}} + \frac{3}{2} (2\alpha-1) \chi \Delta_{ek} t^{\frac{6\alpha-9}{2(2\alpha-1)}} \right\}^2.$$

Подставляя (2.4) и  $dp^*/dt|_{t \rightarrow 0}$  в систему уравнений (2.3) и переходя к пределу  $t \rightarrow 0$ , получаем для течения около передней кромки крыла систему обыкновенных дифференциальных уравнений, которая решалась методом прогонки. Следует отметить, что в окрестности передней кромки коэффициент  $\left[ w_0 + z_0 u^* \left( 1 - t^{\frac{1}{2\alpha-1}} \right) \right]$ , определяющий направление параболичности, является величиной положительной при всех значениях  $\eta$  и течение в пограничном слое направлено от кромки к оси крыла.



Фиг. 3



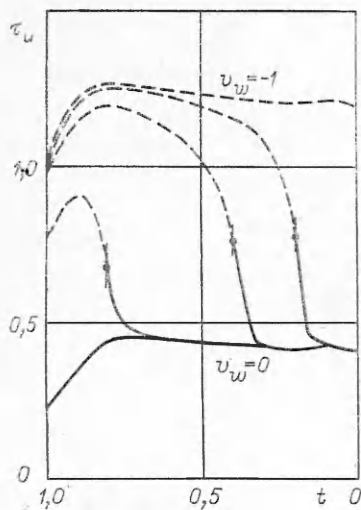
Фиг. 4

В настоящей работе рассматривается симметричное обтекание крыла, поэтому нет необходимости вести расчет от одной передней кромки крыла до другой и достаточно решать систему уравнений от кромки до плоскости симметрии крыла ( $t = 1$ ), где в данной задаче реализовалась линия стекания.

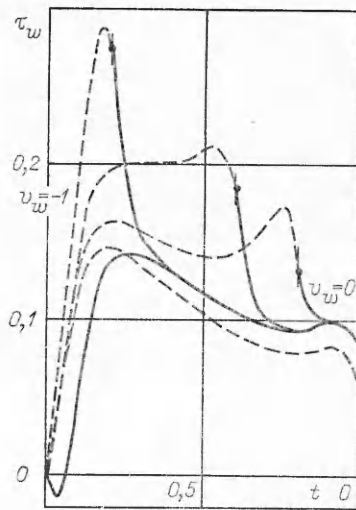
Для упрощения расчетов предполагалась линейная зависимость коэффициента вязкости от температуры  $\omega = 1$ , а также  $\gamma = 1,4$ ,  $\sigma = 0,71$ . Исследования влияния массообмена на характеристики пограничного слоя проведены на теле с углом стреловидности  $45^\circ$  ( $z_0 = 1$ ) и параметром, определяющим форму кромки,  $\alpha_1 = 3/4$ . Температура поверхности тела предполагалась постоянной  $g_w = 0,5$ , а параметр взаимодействия, характеризующий отношение толщины вытеснения пограничного слоя к толщине крыла,  $\chi = 1$ .

На фиг. 2 представлены результаты расчетов толщины вытеснения пограничного слоя  $\Delta_e$  и давления  $p^*$  при постоянных по размаху крыла значениях функции  $v^1|_w = 0,2; 0; -0,5; -1$  (кривые 1—4 соответственно). Отрицательные значения  $v^1|_w$  соответствуют отсосу пограничного слоя через поверхность крыла, а положительные — вдуву. Отсос пограничного слоя, как и следовало ожидать, приводит к существенному уменьшению толщины вытеснения пограничного слоя, что, в свою очередь, ведет к уменьшению давления. Важно отметить, что давление не только становится меньше по величине, но и значительно уменьшается положительный градиент давления в окрестности плоскости симметрии крыла. Причем при значении  $v^1|_w = -1$  он практически становится равным нулю. Как показали численные расчеты, при отсутствии массообмена в пограничном слое в окрестности плоскости симметрии существуют возвратные поперечные течения, которые при увеличении интенсивности отсасывания становятся меньше и при  $v^1|_w = -1$  полностью отсутствуют. При наличии же вдува через поверхность тела, как видно из фиг. 2, в окрестности плоскости симметрии увеличивается как толщина вытеснения, так и давление. Результаты расчета напряжений трения в продольном  $\tau_u = \partial u^*/\partial \eta|_w$  и поперечном  $\tau_w = \partial w_0/\partial \eta|_w$  направлениях, а также теплового потока  $\tau_g = \partial g^*/\partial \eta|_w$  при переменном по размаху крыла вдуве приведены на фиг. 3, 4.

Областям, в которых осуществлялся вдув газа через поверхность с  $v^1|_w = 0,1$ , соответствуют штриховые части кривых. Как видно из фиг. 3, наличие переменного вдува оказывает существенное влияние на величины напряжения трения  $\tau_u$  и тепловой поток  $\tau_g$  уже на достаточно больших расстояниях от места начала вдува, обозначенного вертикальными чер-



Фиг. 5



Фиг. 6

точками. Так, при вдуве газа с  $v^1|_w = 0,1$  в области  $0,4 \leq t \leq 1$  это влияние оказывается до значений  $t = 0,31$ . Таким образом, возмущение от вдува распространяется вверх по поперечному течению на расстояния  $\Delta t = 0,09$ . Интересно отметить, что длина этой возмущенной зоны практически не зависит от координаты точки начала вдува ( $t = 0,4; 0,8$ ). Влияние вдува на напряжение трения в поперечном направлении  $\tau_w$  (фиг. 4) достаточно слабое, причем вдув приводит к уменьшению величины  $\tau_w$ , что, видимо, объясняется ростом толщины вытеснения пограничного слоя.

Результаты исследования влияния переменного отсоса газа через поверхность тела на характеристики пограничного слоя представлены на фиг. 5,6. Распределение напряжения трения в продольном направлении  $\tau_u = \partial u^*/\partial \eta|_w$  по размаху крыла при наличии отсоса показано на фиг. 5. Областям, в которых осуществлялся отсос газа через поверхность со значениями  $v^1|_w = -1$ , соответствуют штриховые части кривых. В приведенных расчетах области отсоса газа начинались в точках  $t = 0; 0,2; 0,4; 0,8$ . Как и при вдуве газа, наличие переменного отсоса оказывает существенное влияние на характеристики течения в пограничном слое на значительном расстоянии от точки начала области вдува. Отсос газа со значениями  $v^1|_w = -1$  в области  $0,4 \leq t \leq 1$  начинает оказывать влияние на функции  $\tau_u$  и  $\tau_g$  в точке  $t = 0,28$ , и, следовательно, возмущения распространяются вверх по поперечному течению на расстояния  $\Delta t = 0,12$ . Следует отметить резкое возрастание тепловых потоков и напряжения трения в продольном направлении в окрестности начала области отсоса газа. На фиг. 6 приведены результаты расчета напряжения трения в поперечном направлении  $\tau_w = \partial w_0/\partial \eta|_w$  по размаху крыла. В окрестности начала области отсоса происходит значительный рост напряжений трения  $\tau_w$ . При отсосе газа через поверхность в области  $0,4 \leq t \leq 1$  в окрестности  $0,3 \leq t \leq 0,47$  значения  $\tau_w$  возрастают более чем в два раза. Возрастание скорости поперечного течения в окрестности точки начала отсоса газа объясняется тем, что изменяется распределение толщины вытеснения пограничного слоя и происходит увеличение градиента давления в поперечном направлении. Следует отметить, что при наличии отсоса газа со значениями  $v^1|_w = -1$  реализуется течение с плавным стеканием к плоскости симметрии крыла и области возвратного течения не образуются.

Поступила 25 X 1978

## ЛИТЕРАТУРА

1. Степанов Э. А., Харченко В. Н., Огородникова З. С. Течение газа с массообменом на поверхности. Обзор ОНТИ ЦАГИ, 1973, № 436.
2. Gomez A., Curry D. M., Johnston C. G. Radiative ablative and active cooling thermal protection studies for the leading edge of a fixed straight wing space shuttle. AIAA Paper N 71—445, 1971.
3. Scoville C. L., Gorsuch P. D. Thermal protection for the space shuttle.— «Raumfahrtforschung», 1971, Heft 2.
4. Дудин Г. Н., Нейланд В. Я. Закон поперечных сечений для трехмерного пограничного слоя на тонком крыле в гиперзвуковом потоке.— «Изв. АН СССР. МЖГ», 1976, № 2.
5. Хейз У. Д., Пробстин Р. Ф. Теория гиперзвуковых течений. М., ИЛ, 1962.
6. Дудин Г. Н. Взаимодействие гиперзвукового потока с пограничным слоем на тонком треугольном крыле.— «Труды ЦАГИ», 1978, вып. 1912.
7. Вазов В., Форсайт Дж. Разностные методы решения дифференциальных уравнений в частных производных. М., ИЛ, 1963.

УДК 532.529.5

## ИССЛЕДОВАНИЕ НАПРЯЖЕНИЯ ТРЕНИЯ НА СТЕНКЕ В ВОСХОДЯЩЕМ ГАЗОЖИДКОСТНОМ ПОТОКЕ

*A. П. Бурдуков, О. Н. Кашинский, В. П. Однорал*

*(Новосибирск)*

Определение коэффициентов трения, тепло- и массопереноса в турбулентном двухфазном течении является весьма актуальной задачей как с научной точки зрения, так и для многочисленных технических приложений. Основной трудностью при решении этой задачи является большое число параметров, влияющих на структуру двухфазного течения. Знание расходных скоростей жидкости и газа недостаточно для определения даже средних характеристик двухфазного течения. На структуру течения, а следовательно, на свойства турбулентного переноса влияют также распределение фаз по сечению канала, сжимаемость газовой фазы, гравитационные силы, детальная структура процессов на границе раздела газ — жидкость.

Традиционным подходом к проблеме изучения характеристик двухфазных течений является выделение определенных режимов течения [1, 2], к основным из которых в вертикальной трубе относятся пузырьковый, спарядный и дисперсионно-кольцевой, с последующим расчетом по различным моделям, применимыми, как правило, к одному из режимов. Данная схема дает удовлетворительные результаты только при выполнении двух условий: во-первых, если достаточно быстро устанавливается некоторая равновесная структура, во-вторых, если все течения в одном режиме подобны. Имеющийся в настоящее время экспериментальный материал свидетельствует о том, что эти условия выполняются далеко не всегда. Равновесная структура течения, не зависящая от входных условий, как показано в [3], устанавливается лишь на значительных расстояниях от входа и при больших скоростях жидкости ( $> 3 \text{ м/с}$ ). Проведенные в последнее время многочисленные измерения некоторых локальных характеристик [4—8] свидетельствуют о том, что качественно подобные распределения газосодержания имеют место лишь в спарядном режиме, тогда как в пузырьковом такое подобие отсутствует, и картина течения является значительно более сложной.

Для понимания механизма двухфазного потока необходимо проведение комплексных исследований, включающих измерение возможно большего числа характеристик течения, таких как локальные газосодержания, скорости жидкости и газа, касательные напряжения на стенке, пульсационные характеристики. К числу наиболее подробных работ такого рода относятся измерения [9, 10], причем первая работа носит в основном методический характер. В указанных работах не проводилось определения такой важной характеристики течения, как локальное напряжение трения на стенке; кроме того, диапазон скорости